



سنتز نانوالیاف کامپوزیتی SnO_2/ZnO به روش الکتروریسی و بررسی عوامل موثر محلولی و فرآیندی بر مورفولوژی نانوالیاف حاصل

حامد اکبری خرمی^{*}، منصور کیانبورراد و محمدرضا واعظی

پژوهشکده مواد نو، پژوهشگاه مواد و انرژی، کرج

تاریخ ثبت اولیه: ۱۳۸۸/۱۲/۱۵، تاریخ دریافت نسخه اصلاح شده: ۱۳۸۹/۰۲/۰۴، تاریخ پذیرش قطعی: ۱۳۸۹/۰۳/۰۹

چکیده

در این مقاله سنتز نانوالیاف کامپوزیتی SnO_2/ZnO به روش ترکیبی الکتروریسی و فرآیند سل-زل گزارش شده است. همچنین تاثیر ولتاژ کاری و غلاظت پلی وینیل الكل بر مورفولوژی، اندازه و توزیع قطر نانوالیاف تهیه شده بررسی شده است. محلول‌های آماده شده از مواد پلی وینیل الكل، استاترروی و کلرید قلع با غلاظت‌های متفاوت پلی وینیل الكل در آب، تحت فرآیند الکتروریسی قرار گرفتند تا الیاف کلریدقلع/استاترروی/پلی وینیل الكل حاصل شود و پس از کلسینیه شدن به مدت ۶ ساعت در دمای 65°C نانوالیاف کامپوزیتی SnO_2/ZnO تهیه شود. از آزمون‌های STA، XRD و EDX جهت مشخصه‌یابی و بررسی عوامل موثر بر مورفولوژی نانوالیاف استفاده گردید. نانوالیاف حاصل دارای قطر متوسط ۷۵ نانومتر است. نتایج نشان داد که نانوالیاف کامپوزیتی SnO_2/ZnO بدست آمده از خلوص فازی و شیمیابی بالایی برخوردار است.

واژه‌های کلیدی: الکتروریسی، نانوالیاف کامپوزیتی، SnO_2/ZnO ، پلی وینیل الكل.

نانوالیاف با دارا بودن قطر نانو متری و طول ماکرو، پلی بین دو مقیاس ماکرو و نانو برقرار می‌کنند و به واسطه خواص متنوع و جالب، کاربردهای زیادی برای آنها در نظر گرفته شده است.

یکی از روش‌های به نسبت جدید برای تولید نانوالیاف، استفاده از میدان الکترواستاتیکی قوی است. این روش به نام ریسندگی الکترواستاتیکی الیاف یا الکتروریسی شناخته می‌شود [۳]. فرآیند تشکیل نانوالیاف توسط این روش بسیار سریع بوده و الیاف به طور پیوسته تا طول چند متر

۱- مقدمه

امروزه پژوهش‌های بسیار زیادی جهت توسعه نانومواد تک‌بعدی از جمله نانومیله‌ها، نانوسیمه‌ها، نانوالیاف و نانولوله‌های مواد اکسیدی متفاوت انجام می‌شود که علت آن خواص نوری، الکتریکی، حرارتی، مکانیکی و پتانسیل کاربرد این مواد در ابزارهای مختلف از جمله در ساخت سلول‌های خورشیدی، کاتالیست‌ها و حسگرهای است [۱، ۲]. از میان شکل‌های مختلف نانوساختارهای تک‌بعدی،

^{*}عهده‌دار مکاتبات: حامد اکبری خرمی

نشانی: کرج، مشکین دشت، پژوهشگاه مواد و انرژی، پژوهشکده مواد نو، آزمایشگاه نانومواد
تلفن: ۰۲۶-۰۴۱۳۱، ۰۲۶-۰۴۱۳۱، دورنگار: ۰۲۶-۰۴۱۳۱، پست الکترونیکی: hamed_ak64@yahoo.com

باند وسیع به ترتیب با اندازه $\frac{3}{4}$ و $\frac{3}{6}$ الکترون ولت از مهم‌ترین مواد الکترونیک و فوتونیک محسوب می‌شوند [۲۸]. اختلاف در پهنهای باند انرژی آنها راه بسیار موثری در کاهش دادن سرعت باز ترکیب جفت الکترون حفره است. در نتیجه چنین مشخصاتی فعالیت فتوکاتالیستی در کاربردهای سلول‌های خورشیدی را افزایش می‌دهد [۹، ۱۰]. در این پژوهش از مواد اولیه کلریدقلع، استاترروی و پلی‌وینیل الكل جهت تهیه نانوالیاف کامپوزیتی SnO_2/ZnO به عنوان محصول نهایی استفاده شده است.

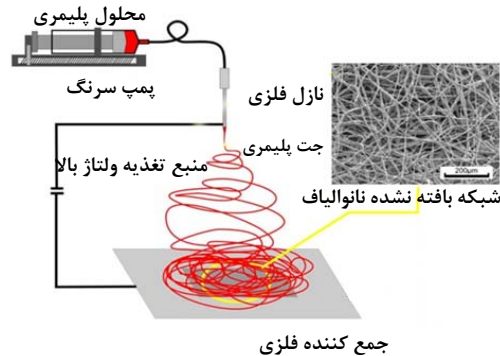
۲- فعالیت‌های تجربی

در این پژوهش از پلی‌وینیل الكل ($\text{C}_2\text{H}_4\text{O}_x$) با جرم مولکولی متوسط ۷۲۰۰ گرم بر مول، استاترروی دوا به $(\text{Zn}(\text{CH}_3\text{CO}_2)_2\cdot(\text{H}_2\text{O})_2)$ ، کلرید قلع II دوا به $(\text{SnCl}_2\cdot(\text{H}_2\text{O})_2$ همگی از شرکت Merck آلمان به عنوان مواد اولیه جهت سنتز نانوالیاف کامپوزیتی SnO_2/ZnO استفاده شده است.

برای ساخت نانوالیاف از سیستم الکتروریسی با منبع تغذیه ولتاژ بالا ۶۰-۰ کیلو ولت ساخت شرکت Glassman High Voltage آمریکا، پمپ سرنگ (Top5300, Japan) برای خروج کنترل شده محلول، سرنگ به حجم ۵۰ میلی‌لیتر با نازل فلزی از جنس فولاد زنگنزن با قطر خارجی 10×10 میلی‌متر و قطر داخلی پتانسیل به نازل و جمع‌کننده وصل که برای ایجاد اختلاف پتانسیل به نازل و جمع‌کننده وصل می‌شوند و ورقه‌های 10×10 سانتی‌متر مربع آلومینیوم به عنوان جمع‌کننده استفاده شده است. در این فرآیند پتانسیل الکتریکی بالا از طریق الکترود گیرهای متصل به نازل، به محلول درون سرنگ اعمال می‌شود. با برقراری اختلاف پتانسیل بین نازل و جمع‌کننده، نانوالیاف به صورت شبکه بافته نشده بروی جمع‌کننده قرار می‌گیرند.

برای آماده‌سازی محلول از آب مقطر به عنوان حلal مشترک برای پلی‌وینیل الكل، استاترروی و کلریدقلع استفاده شده است. به منظور دست‌یابی به الیاف با مورفولوژی دلخواه، محلول‌های به وزن ۲۰ گرم با درصدهای وزنی مختلف 8% ، 10% ، 12% و 15% از پلی‌وینیل الكل تهیه شده است. برای تهیه محلول‌های پلیمری

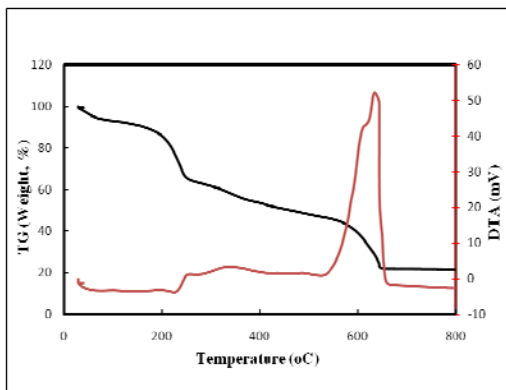
تولید می‌شوند. این پیوستگی به علت ویسکوزیته بالای محلول، ناشی از درهم فرورفتگی زنجیره‌های پلیمری است که از فروپاشی جت الکتروریسی جلوگیری می‌کند [۴]. عوامل متعددی بر روی این فرآیند تاثیر می‌گذارد، به طوری که با تغییر این عوامل می‌توان الیاف با مورفولوژی‌های مختلف، از الیاف تسممه‌ای شکل گرفته تا الیاف متخخل را تولید نمود. به طور کلی عوامل موثر بر این محیطی تقسیم‌بندی کرد که عوامل محلولی شامل وزن مولکولی پلیمر، ویسکوزیته محلول، حلایت پلیمر، کشش سطحی محلول، رسانایی محلول، اثر ثابت دی‌الکتریک حلal و تبخیر محلول. عوامل فرآیندی شامل ولتاژ، نرخ تغذیه محلول، اثر جمع‌کننده و فاصله بین نازل تا جمع‌کننده و در نهایت عوامل محیطی شامل دما، رطوبت، نوع اتمسفر و فشار است [۵]. اجزای سیستم الکتروریسی شامل منبع تغذیه جریان مستقیم با ولتاژ بالا، سرنگ و سر زوزن فلزی با قطر داخلی مشخص، پمپ سرنگ برای تغذیه محلول پلیمری با نرخ مشخص، صفحه جمع‌کننده رسانا ترجیحا از جنس آلومینیوم و الکترودها و اتصال‌ها است، شماتیک این سیستم در شکل ۱ نشان داده شده است.



شکل ۱: شماتیک سیستم الکتروریسی.

از میان تعداد زیادی از اکسیدهای فلزی، نانوساختارهای تک بعدی اکسید روی و دی‌اکسید قلع به علت نسبت سطح به حجم زیاد و خواص فیزیکی و شیمیایی ویژه‌ای که دارند به عنوان بهترین گرینه برای ساخت حسگرهای گازی بسیار حساس و سلول‌های خورشیدی شناخته شده‌اند [۶]. اکسید روی و دی‌اکسید قلع به علت پهنهای

داده شده است، آنالیز TG مشخص نمود عملیات کلسینیه شدن در گستره دمایی کمتر از 650°C کاهش جرم به همراه دارد و پس از دمای 650°C کاهش جرمی مشاهده نمی‌شود، که بیان گر اتمام مواد آلی در نمونه و حصول به الیاف اکسیدی خالص است. در گستره دمایی کمتر از 180°C آب موجود در الیاف حاصل از مواد اولیه تبخیر می‌شود. بین دمای 180°C تا 450°C زنجیره‌های اصلی و فرعی موجود در پلی‌وینیل الكل، گروه CH_3COO متعلق به استات روى و کلر موجود در کلرید قلع بخار می‌شوند [۶]. منحنی DTA الیاف اولیه نشان می‌دهد که مشخصات نیمه‌هادی تنها پس از آنل شدن در دمای بالای 40°C بدست می‌آید، چرا که در کمتر از این دما ملکول‌های آلی حللا باقیمانده می‌توانند به عنوان مانع در برابر انباشت و انتقال حامل‌های بار در باند هدایت عمل کنند [۶]. همچنین استحاله فازی از حالت آمروف به حالت کریستالی نیز در دمای 640°C اتفاق می‌افتد. برای تایید نتایج آزمون حرارتی همزمان و همچنین بررسی فازی نانوالیاف کلسینیه شده، نانوالیاف اولیه پس از کلسینیه شدن در دمای 650°C به مدت ۶ ساعت تحت آزمون XRD قرار گرفت.



شکل ۲: آنالیزهای حرارتی TG-DTA.

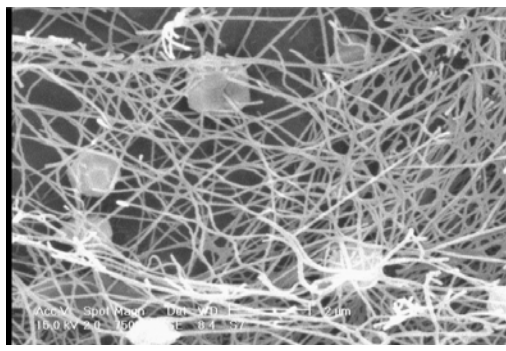
شکل ۳ طیف XRD نانوالیاف کامپوزیتی SnO_2/ZnO را نشان می‌دهد و مشخص می‌سازد ساختار کریستالی نانوالیاف نهایی دارای تبلور مطلوب است. پیک‌های اندیس گذاری شده بیان گر صفحه‌های کریستالی (۱۰۰)، (۱۰۰۲)، (۱۰۱)، (۱۰۲)، (۱۱۰)، (۱۱۰۲) و (۱۰۳) متعلق به اکسید روی (Reference code: 01-075-0576) و صفحه‌های کریستالی (۱۱۱)، (۱۱۱)، (۲۰۰)، (۲۱۱)، (۲۲۰) و (۰۰۲) متعلق

مقدار موردنظر از گرانول‌های پلی‌وینیل الكل به آب مفطر اضافه شده است و به مدت ۱ ساعت با سرعت 400 rpm و در دمای 90°C هم زده شده است. پس از آن گرمکن را خاموش کرده و همزدن با سرعت کمتر 200 rpm به مدت ۳ ساعت ادامه پیدا می‌کند. سپس مقدار ۱ گرم استات روى و ۱ گرم کلرید قلع به طور همزمان به محلول اضافه شده است و با همان سرعت قبلی (200 rpm) هم زدن به مدت ۴ ساعت ادامه داده می‌شود. در این شرایط بین مواد اولیه واکنش سل-زل به وجود می‌آید و محلول ویسکوز شیری‌رنگ و یکنواخت حاصل می‌شود. سپس محلول‌های نهایی جهت انجام الکتروریسی در سرنگ ریخته شدند و با نرخ تغذیه $2/0\text{ میلی لیتر بر ساعت}$ ، فاصله ۱۲ نازل تا صفحه جمع کننده ۶ سانتی‌متر و با ولتاژهای ۱۶ و ۲۰ کیلوولت رسیده شدند. نمونه‌های رسیده شده با شرایط محلولی و فرآیندی متفاوت در دمای 650°C به مدت ۶ ساعت جهت کلسینیه شدن در کوره تیوبی قرار داده شدند تا نانوالیاف کلریدقلع / استات‌روى / پلی‌وینیل الكل به نانوالیاف کامپوزیتی SnO_2/ZnO تبدیل شود. با استفاده از آزمون حرارتی همزمان (STA) توسط دستگاه PLSTA در محدوده دمایی 25°C تا 1200°C و نرخ گرمایش $10^{\circ}\text{C}/\text{min}$ دمای مناسب کلسینیه شدن الیاف برای حذف آب، مواد آلی و تبدیل الیاف اولیه کلریدقلع / استات‌روى / پلی‌وینیل الكل به نانوالیاف کامپوزیتی SnO_2/ZnO به دست آمده است. همچنین از آزمون پراش اشعه ایکس (XRD) توسط دستگاه Philips PW3710 به منظور آنالیز فاز تشکیل شده، میکروسکوپ الکترونی روبشی (SEM) توسط دستگاه Philips XL30 باز مطالعه مورفولوژی و اندازه‌گیری متوسط قطر الیاف و آنالیز پراش انرژی اشعه ایکس توسط دستگاه ZAF با نرم‌افزار Philips میکروسکوپ الکترونی روبشی (SEM) نام برده با نام افزار ZAF جهت بررسی احتمال حضور ناخالصی عنصری الیاف استفاده گردیده است.

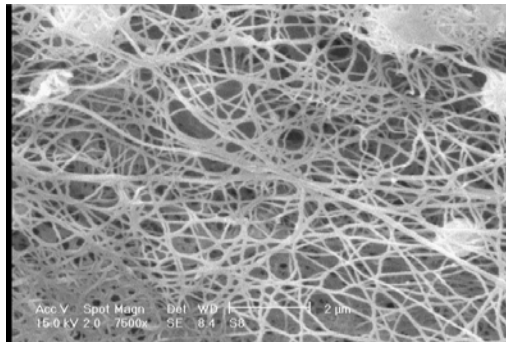
۳- نتایج و بحث

رفتار حرارتی نانوالیاف توسط آنالیز STA بررسی شد، منحنی‌های مربوط به نتایج آنالیزهای حرارتی TG-DTA در شکل ۲ آورده شده است. همان‌طور که در شکل ۲ نشان

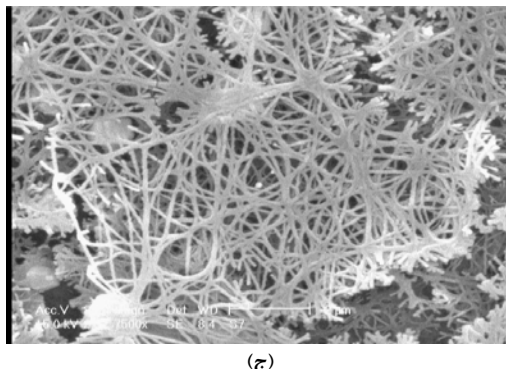
را نشان می‌دهد. با توجه به تصاویر، دو پدیده مشاهده می‌شود؛ اول اینکه الیاف مربوط به هر سه نمونه پس از کلسینه شدن شده‌اند و پدیده دیگر اینکه در تصاویر مربوط به هر سه نمونه کریستال‌های متبلور در بین الیاف مشاهده می‌شوند که به علت ویسکوزیته پایین‌تر از حد لازم برای ایجاد شبکه‌ای پیوسته از نانوالیاف در محلول دارای ۸ درصد وزنی پلیمر است. این خود ناشی از کافی نبودن زنجیره‌های پلیمری و عدم درگیر شدن کامل مواد اولیه کلرید قلع و استات روى با زنجیره‌های پلیمری است.



(الف)



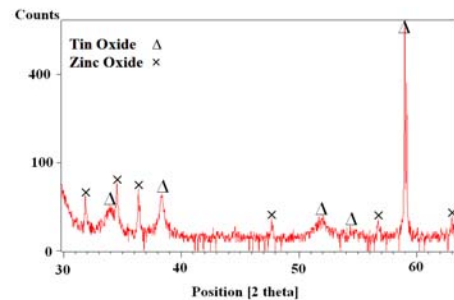
(ب)



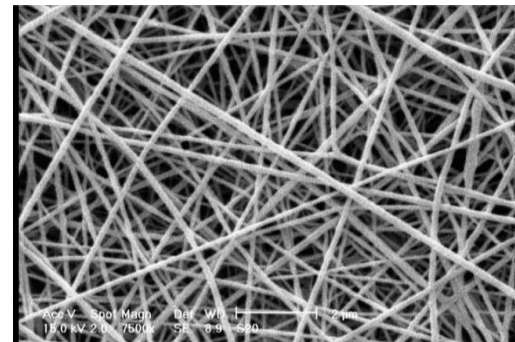
(ج)

شکل ۵: تصاویر SEM نمونه‌های با ۸ درصد وزنی پلیمر، رسیده شده در ولتاژ‌های (الف) ۱۲ کیلوولت، (ب) ۱۶ کیلوولت و (ج) ۲۰ کیلوولت، پس از کلسینه شدن.

(Reference code: 00-001-0657) به دی‌اکسید قلع است. که در تطابق خوبی با فاز کریستالی ورتزیت اکسید روی و روتایل دی‌اکسید قلع است. به علاوه هیچ پیک دیگری مربوط به ناخالصی تشخیص داده نشده است. این امر نشان دهنده خلوص بسیار بالای نانوالیاف کامپوزیتی SnO₂/ZnO تهیه شده می‌باشد.

شکل ۳: طیف XRD نانوالیاف کامپوزیتی SnO₂/ZnO

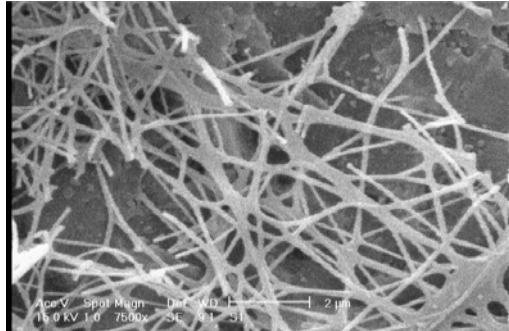
با بررسی مورفولوژی الیاف اولیه کلریدقلع/استات‌روی/پلی وینیل الکل توسط SEM که در شکل ۴ مشاهده می‌شود مشخص شد که نانوالیاف حاصل دارای مورفولوژی مطلوبی است.



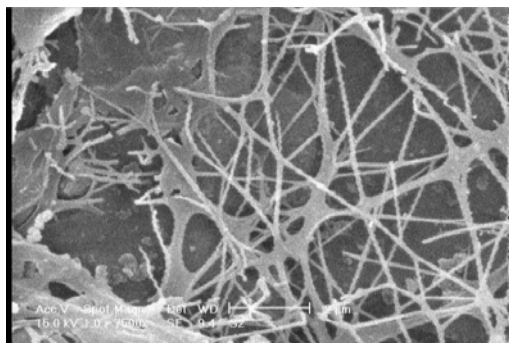
شکل ۴: تصویر SEM نانوالیاف کلریدقلع/استات‌روی/پلی وینیل الکل.

برای بررسی تاثیر ولتاژ و غلظت پلیمر بر مورفولوژی نانوالیاف کامپوزیتی حاصل، نانوالیاف متفاوتی در ولتاژ‌های ۱۰، ۱۲، ۱۶ و ۲۰ کیلوولت از محلول‌هایی با غلظت‌های ۸، ۱۲ و ۱۵ درصد وزنی پلیمر رسیده شدن و توسط میکروسکوپ الکترونی روبشی مورد بررسی قرار گرفتند. شکل ۵ قسمت‌های (الف)، (ب) و (ج)، نانوالیاف رسیده شده در ولتاژ‌های ۱۲، ۱۶ و ۲۰ کیلوولت از محلول ۸ درصد وزنی

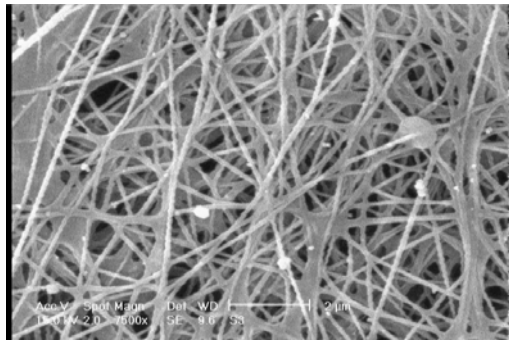
شده بر سر نازل که به شکل مخروط است) پایداری خود را از دست بدهد و در نتیجه ساختار مهره دار ایجاد شود.



(الف)



(ب)

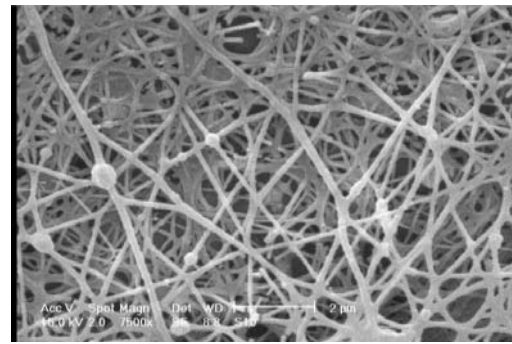


(ج)

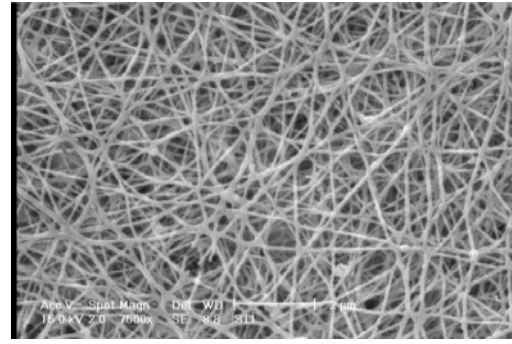
شکل ۷: تصاویر SEM نمونه های با ۱۲ درصد وزنی پلیمر، رسیده شده در ولتاژ های (الف) ۱۲ کیلوولت، (ب) ۱۶ کیلوولت و (ج) ۲۰ کیلوولت، پس از کلسینه شدن.

قابل ذکر است استحکام میدان حاصل تقسیم ولتاژ اعمالی به فاصله بین نازل تا صفحه جمع کننده است. در شکل ۶ قسمت ب و ج، ساختار پیوسته ای از نانوالیاف اکسیدی بدون عیوب ساختاری مشاهده می شود که بیانگر این است که الیاف تهیه شده در ولتاژ ۱۶ و ۲۰ کیلوولت دارای بهترین ریخت و یکنواختی است.

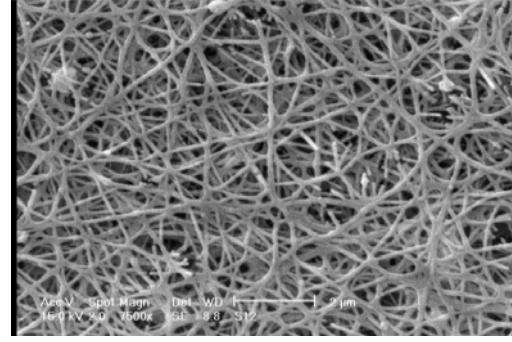
شکل ۶ قسمت های الف، ب و ج نانوالیاف رسیده شده در ولتاژ های ۱۲، ۱۶ و ۲۰ کیلوولت از محلول ۱۰ درصد وزنی را نشان می دهد.



(الف)



(ب)



(ج)

شکل ۶: تصاویر SEM نمونه های با ۱۰ درصد وزنی پلیمر، رسیده شده در ولتاژ های (الف) ۱۲ کیلوولت، (ب) ۱۶ کیلوولت و (ج) ۲۰ کیلوولت، پس از کلسینه شدن.

با توجه به تصاویر شکل ۶ قسمت الف، مشاهده می شود که الیاف دارای مهره هستند، علت آن کافی نبودن استحکام میدان برای غلبه بر کشش سطحی محلول و عدم تناسب استحکام میدان و ویسکوزیته محلول است. این عدم تناسب موجب می شود که مخروط تیلور (قطره تشکیل

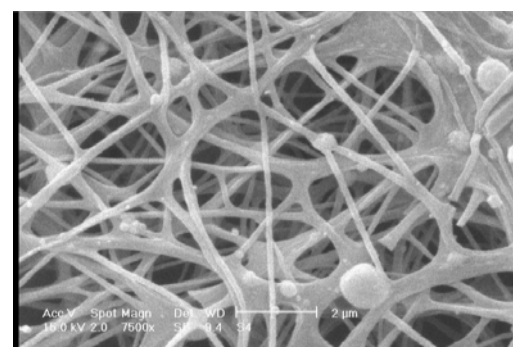
قطر الیاف پس از کلسانینه شدن توسط نرم افزار J و Image از روی تصاویر میکروسکوپ الکترونی روشی نمونه‌ها با بزرگنمایی ۳۰۰۰۰ برابر تخمین زده است. همچنین توزیع اندازه قطر توسط نرم افزار 8 Origin pro و با استفاده از اندازه‌های بدست آمده از نرم افزار J برای نمونه‌های کلسانینه شده رسم شده است. شکل ۹، ۱۰، ۱۱ و ۱۲ به ترتیب توزیع اندازه قطر نانوالیاف ریسانیده شده از محلول‌هایی با ۸، ۱۰، ۱۲ و ۱۵ درصد وزنی را نشان می‌دهد. همان‌طور که از روی تصاویر مشاهده می‌شود، بهترین توزیع اندازه قطر نانوالیاف متعلق به نانوالیاف ریسانیده شده در ۱۲ و ۲۰ kV از محلول ۸ درصد وزنی، ۱۶ کیلوولت از محلول ۱۰ درصد وزنی و ۱۲ kV از محلول ۱۲ درصد وزنی است، البته با توجه به اطلاعات مربوط به این سه نمونه که در جدول ۱ آمده است قابل تشخیص است که نمودار مربوط به نانوالیاف ریسانیده شده در ۱۶ kV از محلول ۱۰ درصد وزنی بهترین توزیع را دارد. لازم به ذکر است منظور از FWHM پهنای انطباق گوسی است که هر چقدر کوچکتر باشد توزیع مطلوب‌تر است، همچنین منظور از C درصد وزنی و V ولتاژ کاری است.

جدول ۱: نمونه‌های با توزیع قطر مطلوب.

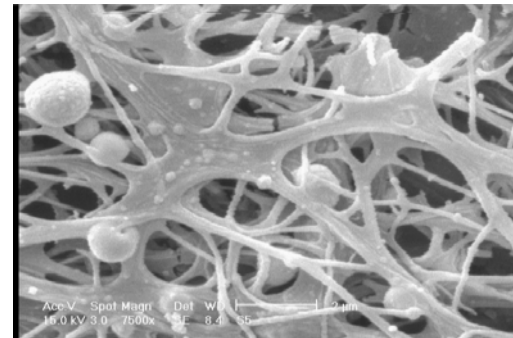
No	C	V	Min	Max	Mean	FWHM
۱	۸	۱۲	۴۰	۱۱۰	۷۲/۲۵	۳۴/۹۴
۳	۸	۲۰	۶۰	۱۶۰	۱۱۰/۰۵	۵۷/۰۵
۵	۱۰	۱۶	۴۰	۱۱۰	۷۵/۴۶	۲۸/۲۱
۷	۱۲	۱۲	۶۰	۱۴۰	۹۸/۷۵	۳۱/۷۱

در شکل ۱۳ الف تا د، نمودارهای تغییرات متوسط قطر بر حسب تغییر ولتاژ کاری برای غلظت‌های مختلف آورده شده است. به طور کلی روند ثابتی در تغییر اندازه متوسط قطر الیاف نسبت به تغییر ولتاژ مشاهده نمی‌شود، به طوری که در نمودارهای مربوط به محلول‌های ۸ و ۱۰ درصد وزنی با افزایش ولتاژ، متوسط قطر ابتدا کاهش و سپس افزایش پیدا کرده است، در نمودار مربوط به محلول ۱۲ درصد وزنی با افزایش ولتاژ متوسط قطر همواره افزایش یافته است و در نمودار محلول ۱۵ درصد وزنی با افزایش ولتاژ متوسط قطر ابتدا افزایش و سپس کاهش یافته است.

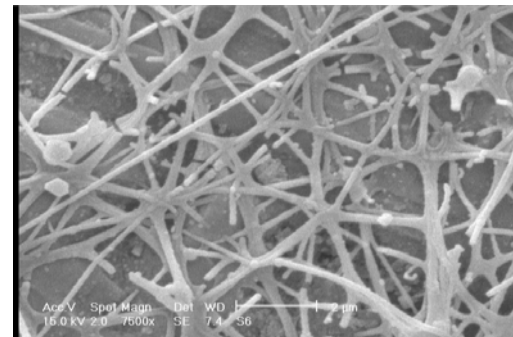
شکل ۷ و شکل ۸ قسمت‌های الف، ب و ج، نانوالیاف ریسانیده شده در ولتاژ‌های ۱۲، ۱۶ و ۲۰ کیلوولت از محلول ۱۲ و ۱۵ درصد وزنی را نشان می‌دهد. با توجه به تصاویر مشاهده می‌شود، ساختارهای مربوطه مهره‌دار و با الیاف غیریکنواخت و گسیخته است که مجدداً به عدم تناسب استحکام میدان و ویسکوزیته محلول بر می‌گردد. ویسکوزیته بالا در نتیجه غلظت بالای پلیمر در محلول ایجاد شده است، که موجب بهم خوردن توازن نرخ ورودی و نرخ خروجی محلول از سر نازل می‌شود.



(الف)

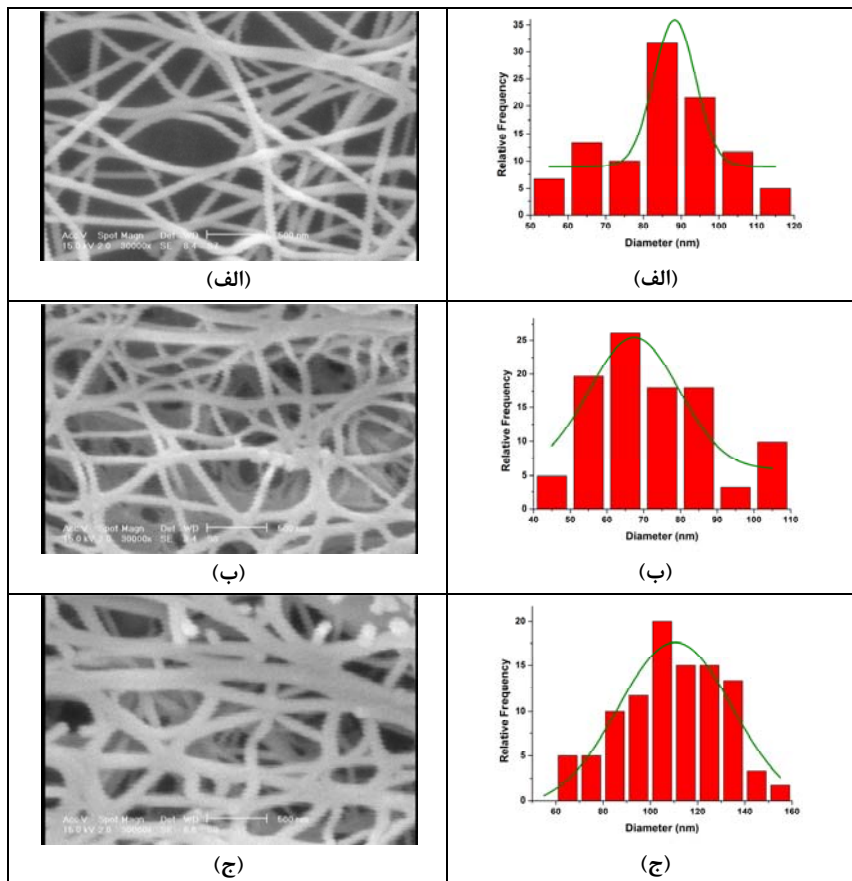


(ب)

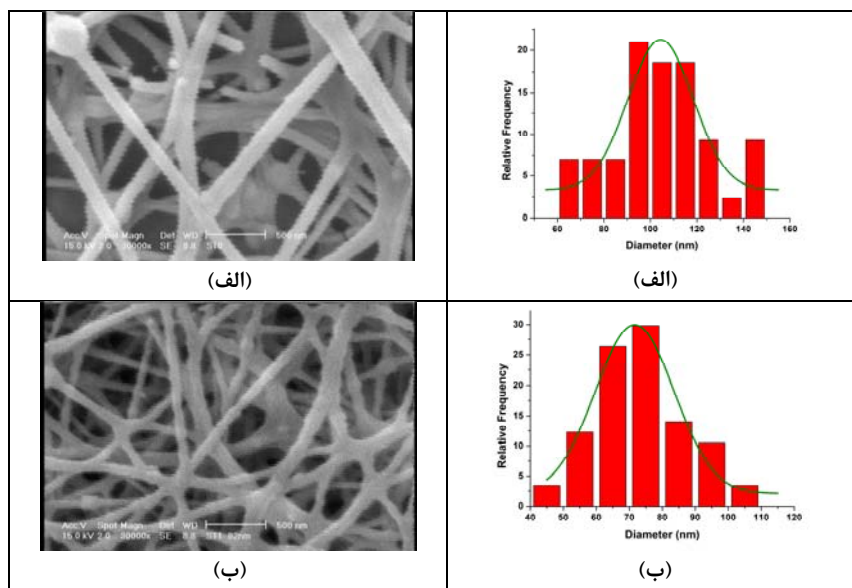


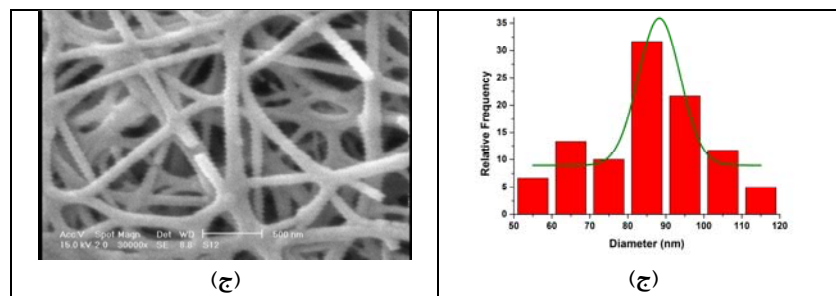
(ج)

شکل ۸: تصاویر SEM نمونه‌های با ۱۵ درصد وزنی پلیمر، ریسانیده شده در ولتاژ‌های الف) ۱۲ کیلوولت، ب) ۱۶ کیلوولت و (ج) ۲۰ کیلوولت، پس از کلسانینه شدن.

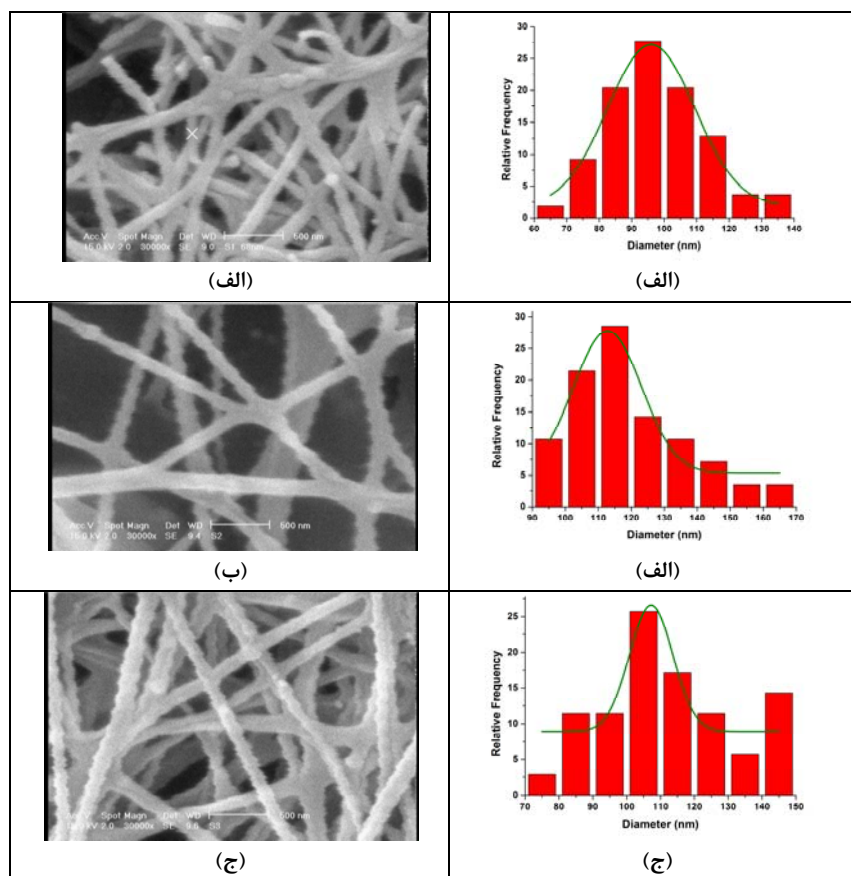


شکل ۹: تصاویر SEM و نمودار توزیع اندازه قطر نمونه‌های با ۸ درصد وزنی پلیمر، رسیده شده در ولتاژهای (الف) ۱۲ کیلوولت، (ب) ۱۶ کیلوولت و (ج) ۲۰ کیلوولت، پس از کلسینه شدن.





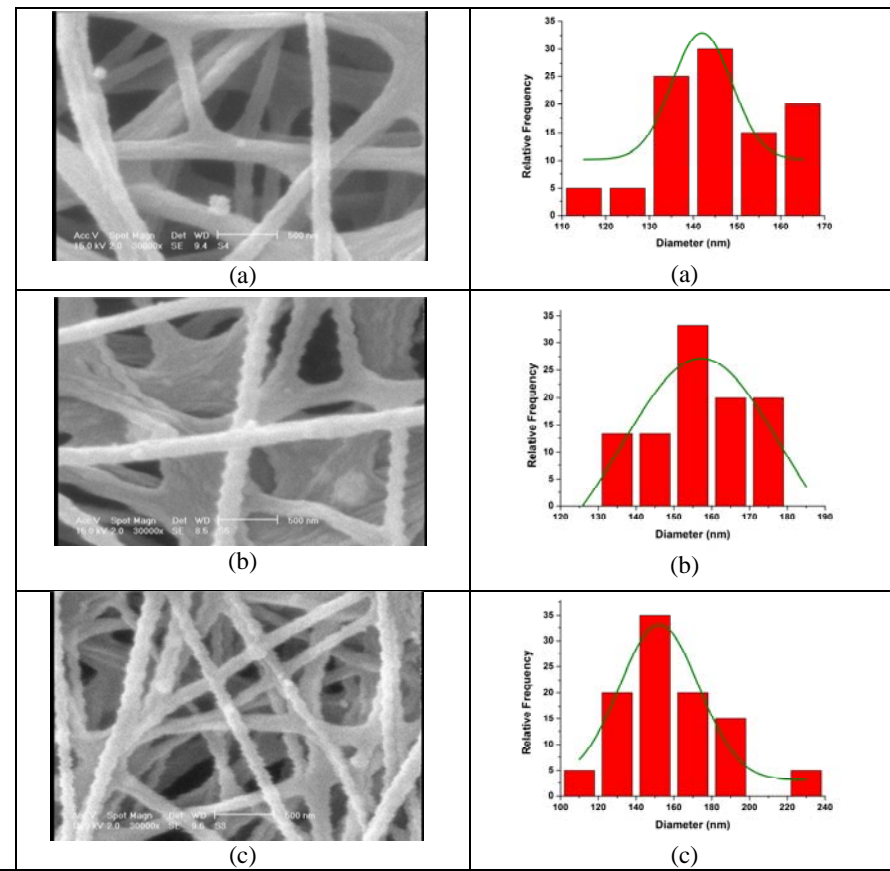
شکل ۱۰: تصاویر SEM و نمودار توزیع اندازه قطر نمونه‌های با ۱۰ درصد وزنی پلیمر، رسیده شده در ولتاژهای (الف) ۱۲ کیلوولت، (ب) ۱۶ کیلوولت و (ج) ۲۰ کیلوولت پس از کلسینه شدن.



شکل ۱۱: تصاویر SEM و نمودار توزیع اندازه قطر نمونه‌های با ۱۲ درصد وزنی پلیمر، رسیده شده در ولتاژهای (الف) ۱۲ کیلوولت، (ب) ۱۶ کیلوولت و (ج) ۲۰ کیلوولت پس از کلسینه شدن.

وزنی دارای کمترین مقدار هستند، اگرچه این روند در نمودار مربوط به ولتاژ ۱۲ kV مشاهده نمی‌شود که به علت کم بودن استحکام میدان با ولتاژ ۱۲ kV در برابر ویسکوزیته بالای محلول با غلظت ۱۰ درصد وزنی است.

شکل ۱۴ الف تا ج، نمودارهای مربوط به تغییرات متوسط قطر بر حسب تغییر غلظت محلول را در ولتاژهای ثابت نشان می‌دهد. قابل مشاهده است که نمودارهای به دست آمده در ولتاژهای ۱۶ و ۲۰ کیلوولت در غلظت ۱۰ درصد



شکل ۱۲: تصاویر SEM و نمودار توزیع اندازه قطر نمونه‌های با ۱۵ درصد وزنی پلیمر، ریسیده شده در ولتاژ‌های (a) ۱۲ کیلوولت، (b) ۱۶ کیلوولت و (c) ۲۰ کیلوولت، پس از کلسینه شدن.

است. شکل ۱۵ نتیجه آنالیز EDX برای نمونه کلسینه شده با غلظت ۱۲ درصد وزنی و در ۲۰ کیلوولت ریسیده شده است را نشان می‌دهد.

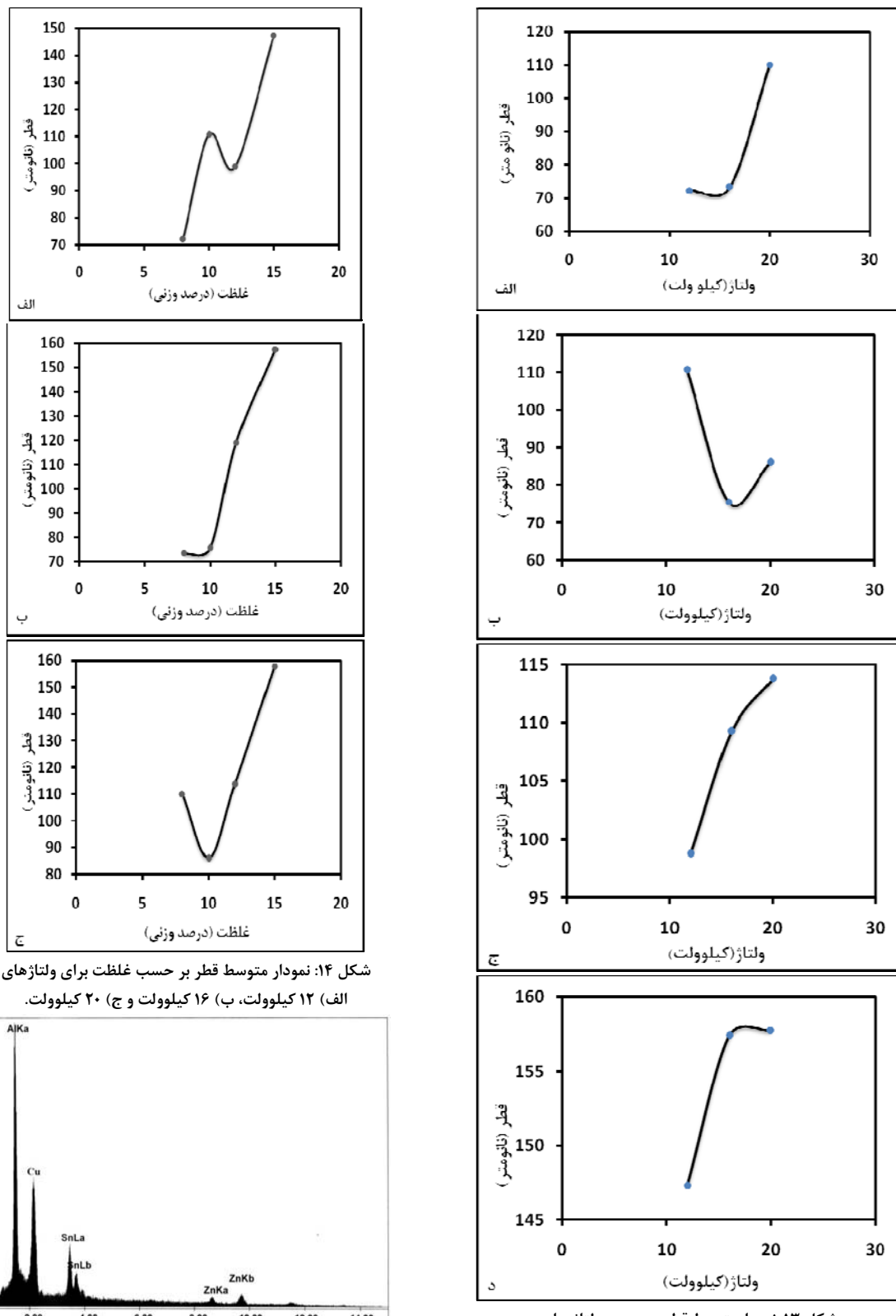
همان‌طور که در تصویر مشاهده می‌شود، تنها پیک‌های کامپوزیتی SnO_2/ZnO تهیه شده، پوشش طلای ایجاد شده (بهمنظر تهیه تصاویر SEM) بر روی نمونه‌ها و زیر لایه آلومینیومی هستند. لذا با توجه به پیک‌های موجود بار دیگر خلوص نانوالیاف کامپوزیتی SnO_2/ZnO تایید می‌شود.

در نهایت غلظت پلیمر برای به دست آوردن نانوالیاف کامپوزیتی SnO_2/ZnO با ریخت مطلوب، میانگین قطر کمتر و توزیع مناسب‌تر، ۱۰ درصد وزنی تعیین گردید و بهترین ولتاژ کاری نیز ۱۶ کیلوولت به دست آمد.

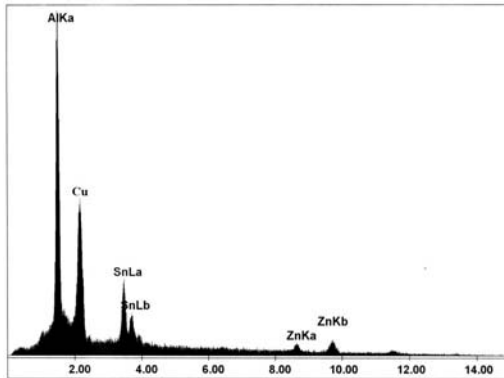
همان‌طور که در شکل ۱۳ ب، مشاهده می‌شود با افزایش ولتاژ از ۱۲ کیلوولت به ۱۶ کیلوولت و با افزایش استحکام میدان توازن مناسبی بین میزان محلول خروجی از سر نازل و میزان محلول پرتاپ شده به سمت صفحه جمع کننده برقرار می‌شود و در نتیجه متوسط قطر الیاف کاهش می‌یابد.

در نهایت با بررسی تصاویر میکروسکوپ الکترونی روبشی، نمودارهای توزیع اندازه قطر و متوسط قطر مربوط به نانوالیاف کلسینه شده با پارامترهای متفاوت، نانوالیاف ریسیده شده با ولتاژ ۱۶ کیلوولت و در غلظت ۱۰ درصد وزنی دارای بهترین مشخصه‌ها است. جدول ۲ دسته‌ای از عوامل بهینه حاصل از بررسی‌های انجام شده را نشان می‌دهد.

آنالیز EDX برای بررسی احتمال حضور ناخالصی‌های عنصری در نانوالیاف کامپوزیتی SnO_2/ZnO انجام شده



شکل ۱۴: نمودار متوسط قطر بر حسب غلظت برای ولتاژ‌های (الف) ۱۲ کیلوولت، (ب) ۱۶ کیلوولت و (ج) ۲۰ کیلوولت.



شکل ۱۵: آنالیز EDX برای نانوآلیاف رسییده شده در ۲۰ کیلوولت از محلول با غلظت ۱۲ درصد وزنی.

شکل ۱۳: نمودار متوسط قطر بر حسب ولتاژ برای غلظت‌های (الف) ۸ درصد وزنی، (ب) ۱۰ درصد وزنی، (ج) ۱۲ درصد وزنی و (د) ۱۵ درصد وزنی.

ورتیزیت اکسیدروی و روتایل دی اکسید قلع بوده و از تبلور خوبی برخوردار است. نتایج حاصل از آزمون‌های XRD و EDX در تکمیل اطلاعات بدست آمده از STA نشان داد که برای دست‌یابی به نانوالياف کامپوزیتی SnO_2/ZnO با درجه خلوص بالا نیازی به دماهای بالا در مقایسه با روش انتقال از فاز بخار نیست. در نهایت غلظت پلیمر برای بدست آوردن نانوالياف SnO_2/ZnO با ریخت مطلوب، میانگین قطر کمتر و توزیع مناسب‌تر، ۱۰۰ درصد وزنی تعیین گردید و بهترین ولتاژ کاری نیز ۱۶ kV بدست آمد.

جدول ۲: پارامترهای بهینه نهایی.

مقادیر بهینه	عوامل
۱۰	غلظت پلیمر بر حسب درصد وزنی
۱	کلرید قلع بر حسب گرم در ۲۰ میلی‌لیتر محلول
۱	استات روی بر حسب گرم در ۲۰ میلی‌لیتر محلول
۰/۲	نرخ تغذیه بر حسب میلی‌لیتر بر ساعت
۶	فاصله کالکتور تا نازل بر حسب سانتی‌متر
۱۶	ولتاژ بر حسب کیلوولت
آلومینیوم	جنس صفحه جمع کننده
۶۵۰	دماهی کلسینه شدن بر حسب درجه سانتی‌گراد
۶	زمان کلسینه شدن بر حسب ساعت

مراجع

- [1] Z. Wang, Z. Li, H. Zhang, C. Wang, *Journal of Catalysis Communications*, **11**, 2009, 257.
- [2] X. Song, L. Liu, *Journal of Actuators A*, **154**, 2009, 175.
- [3] J. Moon, J.A. Park, S.J. Lee, T. Zyung, *ETRI Journal*, **31**, 2009, 636.
- [4] D.H. Reneker, A.L. Yarin, *Journal of Polymer*, **49**, 2008, 2387.
- [5] S. Ramakrishna, K. Fujihara, W.E. Teo, T.C. Lim, Z. Ma, "An Introduction to Electrospinning and Nanofibers", World Scientific Publishing Company, Singapore, 2005, P.396.
- [6] K. Asokan, J.Y. Park, S.W. Choi, S.S. Kim, *Nanoscale Res Lett*, **5**, 2005, 747.
- [7] A. Alkaya, R. Kaplan, H. Canbolat, S.S. Hegedus, *Journal of Renewable Energy*, **34**, 2009, 1595.
- [8] X. Song, Z. Wang, Y. Liu, C. Wang, L. Li, *Nanotechnology*, **20**, 2009, 075501.
- [9] M. Zhang, T. An, X. Hu, C. Wang, G. Sheng, J. Fu, *Applied Catalysis A: General*, **260**, 2004, 215.
- [10] H. Wang, S. Baek, J. Lee, S. Lim, *Chemical Engineering Journal*, **146**, 2009, 355.

۴- نتیجه‌گیری

در کار حاضر، سنتز نانوالياف کامپوزیتی SnO_2/ZnO با خلوص فازی و شیمیایی بالا با استفاده از روش الکتروریسی انجام شد. بدین منظور الیاف اولیه کلرید قلع/استات روی/پلی‌ونیل الکل در دمای نسبتاً پایین 65°C به مدت ۶ ساعت کلسینه شدند و عوامل موثر بر مورفولوژی الیاف بررسی شدند تا نانوالياف با توزیع اندازه قطر مطلوب و متوسط قطر ۷۵ نانومتر بدست آید. با استفاده از آنالیز XRD مشخص گردید نانوالياف حاصل دارای نانوساختارهای